



## **DET TEKNISK– NATURVITENSKAPELIGE FAKULTET**

EKSAMEN I: **ENP100 Prosess og produksjon**

DATO: **10. desember 2021**

VARIGHET: **4 timer (09:00 – 13:00)**

HJELPEMIDDEL: **Godkjent kalkulator**

Eksamenssettet består av 4 oppgaver og 5 vedlegg over i alt 10 sider.

An English translation of the text is supplied as Attachment 5 (Vedlegg 5).

MERKNADER: Ved vurdering er alle delspørsmål vektet likt. Planlegg tidsbruken etter dette. Forklaringer og resonnementer må generelt begrunnes.

Emneansvarlig:

Navn: Runar Bøe

Tlf: 51 83 22 42

---

**Oppgave 1: Generelle spørsmål fra pensum:**

- a) Forklar forskjellen mellom et transient, et pseudo-stasjonært og et stasjonært innstrømningsregime for et oljereservoar.
- b) Hva menes med ”skin-effekten”, som kan oppstå i reservoaret i nærheten av en brønn ?
- c) I hvilken utstyrskomponent ønsker man sonisk strømning (i.e. ved lydhastighet), og hvorfor er dette ønskelig ?
- d) Ved automatisert regulering av prosessparametre (trykk, temperatur, nivå, etc.) benyttes ofte såkalt PID-regulering (Proportional - Integral - Derivative). Forklar hvordan de enkelte delene av styringssignalet (P- I- og D-delen) *kvalitativt* beregnes fra prosessparameterens avvik fra ønsket verdi.
- e) Hva er grunnen til at injeksjon av gass i bunnen av en oljebrønn ofte fører til høyere produksjonsrate ?
- f) Vis at tallverdien for den universelle gasskonstanten  $R_0$  blir 10.73 når enhetene er  $\left[ \frac{\text{psi ft}^3}{\text{lb-mole } {}^\circ\text{R}} \right]$

Hint:

$$10.73 \frac{\text{psi ft}^3}{\text{lb-mole } {}^\circ\text{R}} = 8.314 \frac{\text{Pa m}^3}{\text{mole K}}$$

I tillegg til vedlegg 3 trenger du følgende:

Quantity	U.S. Field Unit	To SI Unit	To U.S. Field Unit	SI Unit
Trykk ( $p$ )	psi	6894.8	$1.45 \cdot 10^{-4}$	Pa
Stoffmengde ( $N$ )	lb-mole	453.6	0.002205	mole

**Oppgave 2: Strømning i reservoar og brønn**

For en vertikal produksjonsbrønn for olje er det gjort et par tester av bunnhullstrykket  $p_{wf}$  for ulike produksjonsrater. Bunnhullstrykket målt ved null rate (avstengt brønn) antas å representere trykket i reservoaret,  $p_e$ . Resultatet av testene er vist i Tabell 1.

$\dot{q}_o$ [stb/d]	$p_{wf}$ [psi]
0	5800
5000	4900
10000	3925

Tabell 1: Test av trykk i bunn av brønn

Senere blir det gjort noen flere tester for å måle trykket ved brønnhodet  $p_{wh}$  (topside). Resultatet av disse testene er vist i tabell 2.

$\dot{q}_o$ [stb/d]	$p_{wh}$ [psi]
500	4060
1000	4120
1500	4030
2000	3850
6000	2420
10000	411

Tabell 2: Test av trykk ved brønnhode

- a) Produksjonsindeksen er en indikasjon på hvor mye produksjonsraten endrer seg som følge av endring i bunnhullstrykket:

$$J = \frac{q_o}{p_e - p_{wf}}$$

Anslå en representativ verdi for produksjonsindeksen  $J$ .

- b) Plott IPR-kurven for denne brønnen i vedlagte diagram (Vedlegg 4).
- c) Man ønsker enfasestrøm i reservoaret, og velger en platårate på 4500 stb/d. Bruk dataene i tabell 2 til å anslå hvilken brønnhodetrykk  $p_{wh}$  man må stille inn for å starte produksjonen ved platåraten.
- d) Under forutsetning av at nødvendig trykksdifferanse over brønnen  $\Delta p_w$  er en funksjon kun av produksjonsraten, beregn en TPR-kurve for et brønnhodetrykk på 1200 psi. Plott denne i samme diagram som IPR-kurven fra delspørsmål b).
- e) Hva blir brønnens "natural flow rate" ved dette brønnhodetrykket ?
- f) Etter 7 år med produksjon ved platåraten på 4500 stb/d er brønnhodetrykket nede på 1200 psi (minimum). Anslå hvor fort reservoartrykket synker (psi/år).
- g) Dersom man bare fortsetter å produsere ved konstant brønnhodetrykk og avtagende produksjonsrate, hvor lang tid går det før man er nede på TPR-kurvvens minimumspunkt ? (Anta 200 psi/år om du mangler svar på f))
- h) Forklar kort hvorfor det kan by på problemer å produsere ved lavere rate enn ved dette minimumspunktet, uten å benytte kunstig løft.

### Oppgave 3: Separasjon og prosessregulering

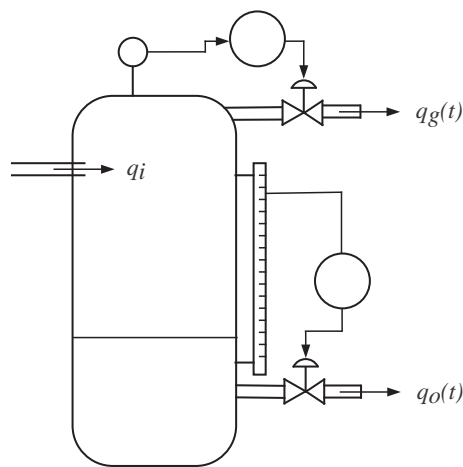
Gitt følgende to-fasestrøm (olje og gass):

Trykk:	$p$	= 18 bar
Temperatur:	$T$	= 38 °C
Strømningsrate, gass:	$\dot{Q}_g$	= 8.0 Sm <sup>3</sup> /s
Strømningsrate, olje:	$\dot{q}_o$	= 0.0045 m <sup>3</sup> /s
Gas gravity:	$\gamma_g$	= 0.7
$z$ -faktor, gass:	$z$	= 0.9
API-gravity, olje:	°API	= 52 °API

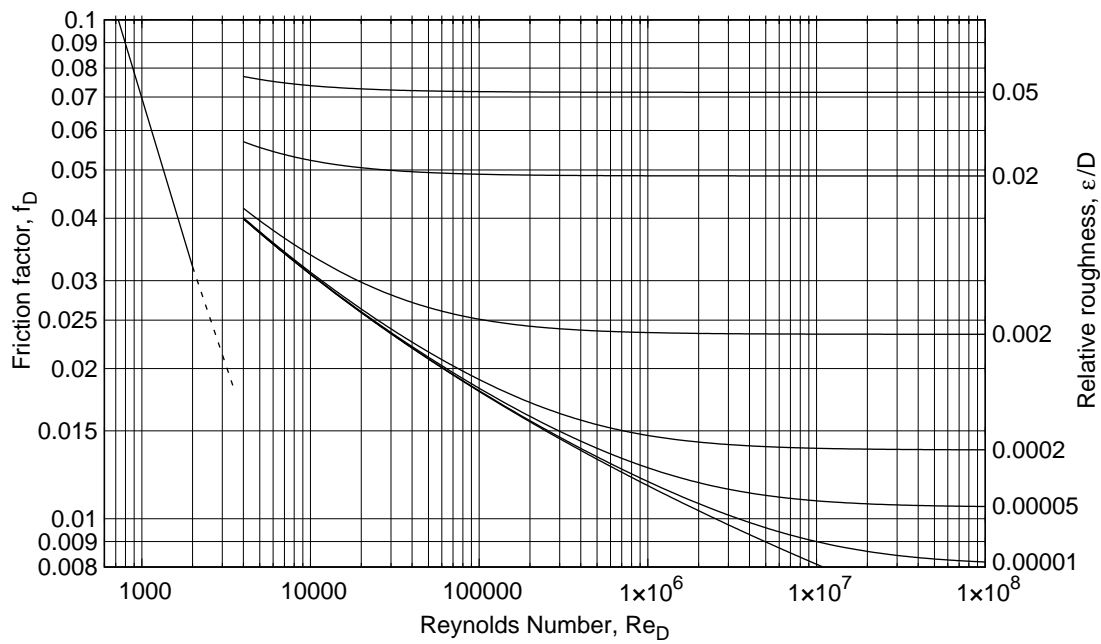
<b><i>K</i> values used for selecting separators</b>		
<b>Separator Type</b>	<b><i>K</i> [ft/s]</b>	<b>Remarks</b>
Vertical separators	0.06 – 0.35	
Horizontal separators	0.40 – 0.50	
Wire mesh mist eliminators	0.35	
Bubble cap trayed columns	0.16	24-in. spacing

Tabell 3: *K*-verdier for separatorberegninger

- Beregn oljetetthet og gasstetthet ved separatorbettingelser.
- Velg en *vertikal* separator, men anta  $K = 0.3$  (altså i ”øvre sjikt” av intervallet indikert i Tabell 3). Hva blir nødvendig indre separatordiameter basert på gasskapasitet?
- For en minimum oppholdstid  $t_{ret} = 1$  min (60 s), hvor høyt vil oljenivået måtte stå? (Legg arealet fra b) til grunn)
- To-fasestrømmen inn i separatoren kan variere, derfor er det nødvendig med en eller annen form for automatisk regulering. Skissen i Figur 1 indikerer reguleringsventiler på begge utløpene. Hvilke størrelser (prosessparametere) kan disse ventilene regulere?
- Anta at separatoren arbeider stabilt, men at det plutselig kommer en større mengde olje (i.e. en slug) inn i separatoren. Forklar hvordan du mener at de to ventilene bør reagere, dersom reguleringssystemet er korrekt innstilt.
- Nevn minst en grunn til at man (allefall teoretisk) kunne spart noen materialkostnader ved å velge en horisontal separator istedet for en vertikal.



Figur 1: Vertikal separator med reguleringsventiler



Figur 2: Forenklet utgave av Moody-diagrammet

**Oppgave 4: Gassrørledning og kompresjon:**

Det finnes mange metoder for å beregne friksjonsfaktoren for rørstrøm, og Moody-diagrammet i Figur 2 er mye brukt. Det gir Darcy friksjonsfaktor som funksjon av Reynoldstallet  $Re_D = \frac{\rho u D}{\mu}$  med isokurver for relativ ruhet  $\frac{\varepsilon}{D}$ . For ”typiske” strømningsrater og rørdiametre er  $f_D$  ofte i størrelsesorden 0.02.

- a) Hva vil skje med verdien av  $f_D$  når rørdiameteren  $D$  blir veldig stor (som f.eks. i en langdistanse gassrørledning) ? Begrunn svaret.

”Europipe II” som frakter gass fra Kårstø til Dornum, er 658 km lang, med indre diameter på 1.01 m. Den er bygget med en designkapasitet på  $65 \cdot 10^6 \text{ Sm}^3/\text{d}$ , basert på et inntakstrykk på 189 bar g, og et utløpsstrykk på 89 bar g.

Følgende data er oppgitt for gassen i rørledningen:

Gas gravity:	$\gamma_g$	= 0.64
$z$ -faktor (gjennomsnitt):	$z$	= 0.67
Temperatur (gjennomsnitt):	$T$	= 6 °C
Std. temperatur:	$T_{std}$	= 288.15 K
Std. trykk:	$p_{std}$	= 101.325 kPa

- b) Vis at Weymouthligningen (Ligning 1) bekrefter den oppgitte designkapasiteten for Europipe II.

$$\dot{Q} [\text{Sm}^3/\text{d}] = 1.185 \cdot 10^7 \cdot \left( \frac{T_{\text{std}}}{p_{\text{std}}} \right) \cdot \sqrt{\frac{(p_1^2 - p_2^2)}{\gamma_g} \frac{D^{5.333}}{L T z}} \quad (1)$$

**NB:** Alle trykk i kPa, alle temperaturer i K, alle lengdeenheter i m.

Følgende data er oppgitt for gassen inn på eksportkompressorene:

Trykk:	$p$	= 110 bar g
Temperatur:	$T$	= 35 °C
$z$ -faktor:	$z$	= 0.79
Adiabateksponent:	$k$	= 1.3

- c) Hva blir teoretisk kompressorarbeid pr. masseenhet for eksportkompressorene ( $\gamma_g$  er den samme som i b)) ?
- d) Hva blir totalt effektbehov for kompressorene (f.eks. i MW), dersom dette er 20 % høyere enn det teoretiske ?

**Vedlegg 1: Formelsamling:**

$$\frac{p}{\rho} = z R T \quad (z = 1 \text{ for ideell gass})$$

$$\dot{m} = \dot{Q} \cdot \rho_{std} = \dot{q} \cdot \rho \quad (\text{massestrøm for gass})$$

$$\gamma_g = \frac{M}{M_{luft}} \quad (M_{luft} = 29 \text{ g/mol} = 29 \text{ lbm/lb-mole})$$

$$\Delta p_f = \frac{1}{2} \rho u^2 f_D \frac{L}{D} \quad (f_D = \text{Darcy friction factor})$$

$$R = \frac{R_0}{M} \quad (R_0 = \text{universal gas constant})$$

$$v_{max} = K \cdot \sqrt{\frac{\rho_L - \rho_g}{\rho_g}} \quad (\text{Souders \& Brown})$$

$$q_L = \frac{V_L}{t_{ret}} \quad (\text{Væskekapasitet for separator})$$

$$w_s = p_1 v_1 \frac{k}{k-1} \left[ \left( \frac{p_2}{p_1} \right)^{\frac{k-1}{k}} - 1 \right] \quad (\text{Kompressorarbeid})$$

**Vedlegg 2: Spesielle enheter og størrelser****API GRAVITY (OF OIL)**

$$\gamma_o \text{ (water} = 1) = \frac{141.5}{131.5 + {}^\circ\text{API}}$$

**API BARREL**

$$1 \text{ API bbl} = 42 \text{ U.S gallons} = 35 \text{ U.K. (imperial) gallons}$$

$$= 5.61 \text{ ft}^3 = 0.159 \text{ m}^3 = 159 \text{ liters}$$

**STANDARD VOLUMETRIC VS. MOLAR UNITS**

$$\begin{array}{lll} \text{SI:} & 23.64 \text{ Sm}^3/\text{kmole}; & 42300 \text{ kmole}/10^6 \text{ Sm}^3 \\ \text{U.S. Field:} & 379.5 \text{ scf/lb-mole}; & 2635 \text{ lb-mole/MMscf} \end{array}$$

**VALUES OF THE UNIVERSAL GAS CONSTANT**

$$\begin{array}{ll} R_0 & = 8.314 \text{ J/mol K} = 8.314 \text{ Pa m}^3/\text{mol K} \\ & = 1545 \text{ lbf ft/lb mol} {}^\circ\text{R} \end{array}$$

**ABSOLUTE TEMPERATURE**

$$\begin{array}{ll} \text{K} & = {}^\circ\text{C} + 273.15 \\ {}^\circ\text{R} & = {}^\circ\text{F} + 459.67 \end{array}$$

**STANDARD CONDITIONS**

$$\begin{array}{ll} T_{std} \text{ (SI)} & = 15 {}^\circ\text{C} = 288.15 \text{ K} \\ T_{std} \text{ (Field)} & = 60 {}^\circ\text{F} = 519.67 {}^\circ\text{R} \\ p_{std} & = 101325 \text{ Pa} = 14.696 \text{ Psi} \end{array}$$

**Vedlegg 3: Omregningstabell**

The conversion factors all have dimension  $\frac{\text{"to"-unit}}{\text{"from"-unit}}$ . Multiply the quantity in "from"-units with the factor, and the "from"-units will cancel. Examples:

$$\begin{aligned} 6 \text{ ft} &= 6 \text{ ft} \times 0.3048 \text{ m/ft} & = 1.8288 \text{ m} \\ 5 \text{ bar} &= 5 \text{ bar} \times 14.504 \text{ Psi/bar} & = 72.52 \text{ Psi} \end{aligned}$$

Quantity	U.S. Field Unit	To SI Unit	To U.S. Field Unit	SI Unit
Length ( $L$ )	feet (ft)	0.3048	3.2808	meter (m)
	mile (mi)	1.609	0.6241	kilometer (km)
	inch (in.)	25.4	0.03937	millimeter (mm)
Mass ( $M$ )	ounce (oz)	28.3495	0.03527	gram (g)
	pound (lb)	0.4536	2.205	kilogram (kg)
	Lbm	0.0311	32.17	slug
Volume ( $V$ )	gallon (gal)	0.003785	264.172	meter <sup>3</sup> (m <sup>3</sup> )
	cu. ft. (ft <sup>3</sup> )	0.028317	35.3147	meter <sup>3</sup> (m <sup>3</sup> )
	barrel (bbl)	0.15899	6.2898	meter <sup>3</sup> (m <sup>3</sup> )
	Mscf (1000 ft <sup>3</sup> , 60°F, 14.7 psia)	28.317	0.0353	Sm <sup>3</sup> (15 °C, 101.325 kPa)
Area ( $A$ )	sq. ft. (ft <sup>2</sup> )	$9.29 \times 10^{-2}$	10.764	meter <sup>2</sup> (m <sup>2</sup> )
	Acre	$4.0469 \times 10^3$	$2.471 \times 10^{-4}$	meter <sup>2</sup>
	sq. mile	2.59	0.386	(km) <sup>2</sup>
Pressure ( $p$ )	lb/in. <sup>2</sup> (psi)	6.8948	0.145	kPa (1000 Pa)
	Psi	0.0689	14.504	bar <sup>a</sup>
	Psi	0.0680	14.696	atm <sup>b</sup>
	psi/ft	22.62	0.0442	kPa/m
Temperature ( $T$ )	inch Hg	$3.3864 \times 10^3$	$0.2953 \times 10^{-3}$	Pa
	°F	$0.5556(\text{°F} - 32)$	$1.8 \text{ °C} + 32$	°C
	Rankine (°R)	0.5556	1.8	Kelvin (K)
Energy / work ( $w$ )	Btu	252.16	$3.966 \times 10^{-3}$	cal
	Btu	1.0551	0.9478	kilojoule (kJ)
	ft-lbf	1.3558	0.73766	joule (J)
	hp-hr	0.7457	1.341	kW-hr
Viscosity ( $\mu$ )	cP	0.001	1000	Pa · s
	lb/ft-sec	1.4882	0.672	kg/(m-sec) or (Pa · s)
	lbf-s/ft <sup>2</sup>	479	0.0021	dyne-s/cm <sup>2</sup> (Poise)
Thermal conductivity ( $k$ )	Btu-ft/hr-ft <sup>2</sup> -°F	1.7307	0.578	W/(m · K)
Specific heat ( $C_p$ )	Btu/(lbm °F)	1	1	cal/(g °C)
	Btu/(lbm °F)	$4.184 \times 10^3$	$2.39 \times 10^{-4}$	J/(kg · K)
Density ( $\rho$ )	lbm/ft <sup>3</sup>	16.02	0.0624	kg/m <sup>3</sup>
Permeability ( $k$ )	Md	0.9862	1.0133	mD (= $10^{-15}$ m <sup>2</sup> )
	md (= $10^{-3}$ darcy)	$9.8692 \times 10^{-16}$	$1.0133 \times 10^{15}$	m <sup>2</sup>

<sup>a</sup>1 bar =  $10^5$  Pa = 100 kPa

<sup>b</sup>1 (std) atm = 1.01325 bar

Vedlegg 4: Trykk vs. flow diagram til kurveplott, oppgave 2

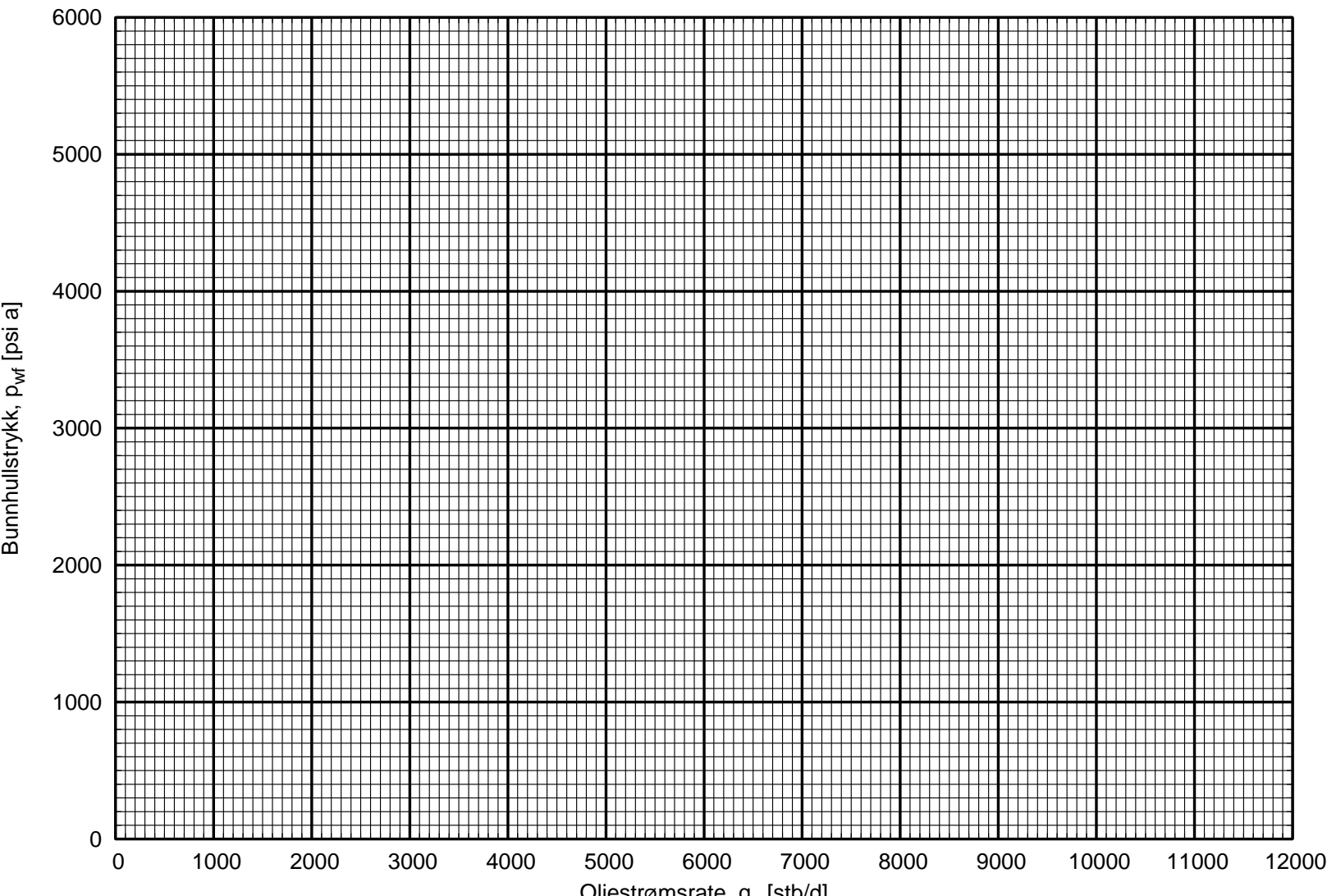
Side nr.: \_\_\_\_\_

Emnekode: ENP100

Emneavn: Prosess og produksjon

Dato: 10. desember 2021

Kandidat nr.: \_\_\_\_\_



## Vedlegg 5: English translation (text only):

### Exercise 1: Generic questions:

- a) Explain the differences between a transient, a pseudo-steady state and a steady state in-flow regime for an oil reservoir.
- b) What is meant by "the skin effect" that may occur in the reservoir in the vicinity of a well ?
- c) In what type of equipment is sonic flow (i.e. at speed of sound) desirable, and why is that ?
- d) By automated control of process parameters (pressure, temperature, level, etc.) PID control (Proportional - Integral - Derivative) is often used. Explain how the different parts of the control signal (the P-, I- and D part) *qualitatively* are derived from the process parameter's deviation from the desired value.
- e) What is the reason why injection of gas at the bottom of an oil well often will lead to a higher production rate ?
- f) Show that the numerical value for the universal gas constant  $R_0$  becomes 10.73 when the units are  $\left[ \frac{\text{psi ft}^3}{\text{ln-mole } ^\circ\text{R}} \right]$ . (A hint and some additional conversion factors are given on Page 2)

### Exercise 2: Flow in reservoir and well:

A couple of tests of the bottom-hole pressure,  $p_{wf}$  at different production rates have been carried out for a vertical production well for oil. The bottom-hole pressure at zero rate (closed well) is assumed to represent the pressure in the reservoir,  $p_e$ . The result of the tests is shown in Table 1. Several tests are carried out at a later time to measure the the pressure at the well head,  $p_{wh}$  (topside). The result from these tests is shown in Table 2.

- a) The production index is an indication of how much the production rate will change as a result of changes in the bottom-hole pressure. Estimate a representative value for the production index  $J$ .
- b) Plot the IPR-curve for this well in the attached diagram (Attachment 4).
- c) Single-phase flow in the reservoir is desirable, and a plateau rate of 4500 stb/d is chosen. Use the data in Table 2 to estimate what *well head pressure*,  $p_{wh}$  that must be set in order to start the production at the plateau rate.
- d) Under the assumption that the necessary *pressure difference* over the well,  $\Delta p_w$  is a function of the production rate only, calculate a TPR-curve for a well head pressure of 1200 psi. Plot this in the same diagram as the IPR-curve from part b).
- e) What is the "natural flow rate" for the well at this well head pressure ?
- f) After 7 years of production at the plateau rate of 4500 stb/d, the well head pressure is down to 1200 psi (minimum). Estimate how fast the reservoir pressure is declining (psi/year).
- g) If the production continues at constant well head pressure and declining production rate, how long does it take before one reaches the minimum point on the TPR-curve ? (Assume 200 psi/year if you are missing the answer for f))

- h) Explain why it may be problematic to produce at a lower rate than at this minimum point, without artificial lift.

### Exercise 3: Separation and process control:

Given the following two-phase stream (oil and gas): (Page 3)

- a) Calculate the oil density and the gas density at separator conditions.
- b) Choose a *vertical* separator, but assume  $K = 0.3$  (i.e. in the "upper range" of the interval indicated in Table 3). What will be the necessary inner separator diameter, based on the gas capacity ?
- c) For a minimum retention time  $t_{ret} = 1 \text{ min (60 s)}$ , how high will the oil level have to be ? (Use the area from b))
- d) The two-phase flow into the separator may fluctuate, and automated control of some sort is therefore necessary. The sketch in Figure 1 indicates control valves on both exits. What quantities (process parameters) are these valves able to control ?
- e) Assume that the separator works in a stable manner, but that there is suddenly a larger amount of oil (i.e. a slug) entering the separator. Explain how you believe the two valves should react, if the control system is set correctly.
- f) Mention at least one reason that one (at least theoretically) could have saved some material cost by choosing a horizontal separator instead.

### Exercise 4: Gas pipeline and compression:

There are several methods to calculate the friction factor for pipe flow, and the Moody diagram in Figure 2 is extensively used. It gives the Darcy friction factor as a function of the Reynolds number  $Re_D = \rho u D / \mu$ , with iso-curves for the relative roughness  $\varepsilon/D$ . For "typical" flow rates and pipe diameters, the value of  $f_D$  is often approximately 0.02.

- a) What will happen to the value of  $f_D$  when the pipe diameter becomes very large (like in a long distance gas pipeline) ? Explain why.

"Europipe II", conveying gas from Kårstø to Dornum, is 658 km long, with an inner diameter of 1.01 m. It is built with a design capacity of  $65 \cdot 10^6 \text{ Sm}^3/\text{d}$ , based on an intake pressure of 189 bar g, and an exit pressure of 89 bar g. The following data are given for the gas in the pipeline: (Page 5)

- b) Show that the Weymouth equation (Equation 1) confirms the design capacity for Europipe II. (**Note:** All pressure in kPa, all temperatures in K, all lengths in m).

The following data are given for the gas entering the export compressors: (Page 6)

- c) What is the theoretical compressor work pr. mass unit for the export compressors ( $\gamma_g$  is the same as in b)) ?
- d) What is the total power requirement for the compressors (in e.g. MW), if this is 20 % higher than the theoretical ?